

# ULTRAKALTE GASE ALS QUANTENSIMULATOREN

Christoph Berke

Prof. Matthias Vojta

02.07.2014



# ULTRAKALTE GASE ALS QUANTENSIMULATOREN - ÜBERSICHT

## ① EINLEITUNG

## ② BEISPIELE

Eindimensionale Ising-Spin-Kette  
Der Hofstadter-Butterfly

## ③ FAZIT

## ④ ANHANG

# MOTIVATION

## ZIEL

Vielteilchen-System simulieren/berechnen

klassische Computer ungeeignet

- Speicherplatz  $\propto e^N$

## BEISPIEL

- Wellenfunktion eines  $N_2$ -Moleküls speichern
- 2 Kerne, 14 Elektronen, 2 Spinzustände pro Elektron
- 3 Raumdimensionen, 100 Punkte pro Raumrichtung
- Anzahl der komplexen Zahlen, die abgespeichert werden müssen:  
 $2^{14} \cdot 100^{3(14+2)} \approx 10^{100}$
- Alle Zahlen auf handelsüblichen 1 TB-Festplatten abspeichern

# MOTIVATION

## ZIEL

Vielteilchen-System simulieren/berechnen

klassische Computer ungeeignet

- Speicherplatz  $\propto e^N$

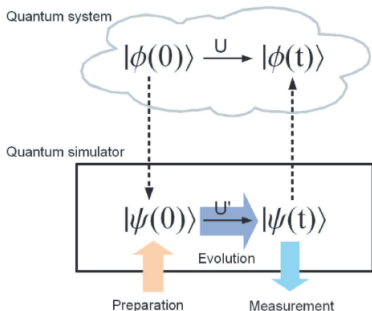
## BEISPIEL

- Wellenfunktion eines  $N_2$ -Moleküls speichern
- 2 Kerne, 14 Elektronen, 2 Spinzustände pro Elektron
- 3 Raumdimensionen, 100 Punkte pro Raumrichtung
- Anzahl der komplexen Zahlen, die abgespeichert werden müssen:  
 $2^{14} \cdot 100^{3(14+2)} \approx 10^{100}$
- Alle Zahlen auf handelsüblichen 1 TB-Festplatten abspeichern
- Würfellänge:  $10^{10}$  Lichtjahre

möglicher Ausweg:

## QUANTENSIMULATOR

Kontrollierbares Quantensystem, das genutzt wird, um ein anderes Quantensystem nachzuahmen



- $|\psi(0)\rangle$  preparieren
- Zeitentwicklung durchführen
- $|\psi(t)\rangle$  messen
- Zusammenhang zwischen  $|\psi\rangle$  und  $|\phi\rangle$

## Digitale Quantensimulation (DQS)

- Idee: Zeitentwicklung des Systems in Folge von 1- und 2-qubit-Gates zerlegen
- diskrete Zeitentwicklung
- universeller als AQS
- Langfristiges Ziel

## Digitale Quantensimulation (DQS)

- Idee: Zeitentwicklung des Systems in Folge von 1- und 2-qubit-Gates zerlegen
- diskrete Zeitentwicklung
- universeller als AQS
- Langfristiges Ziel

## Analoge Quantensimulation (AQS)

- kontrollierbares Quantensystem
- „... there is to be an exact simulation, that the computer will do exactly the same as nature “(R. Feynman)
- $\mathcal{H}_{\text{Sys}} \leftrightarrow \mathcal{H}_{\text{Sim}}$
- Prominentes Beispiel: Bose-Hubbard-Hamiltonian mit Atomen im Gitter

### ZIEL

System mit Hamiltonian  $\mathcal{H}_{\text{Sim}}$   
„bauen“

## BEISPIEL (GERRITSMAN *et al.* (2011))

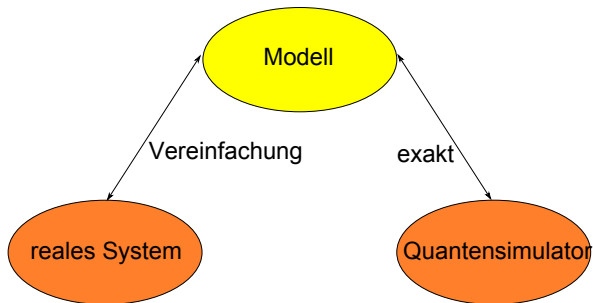
- Dirac-Gleichung für Spin- $\frac{1}{2}$ -Teilchen:  $i\hbar\frac{\partial\phi}{\partial t} = (cp\sigma_x + mc^2\sigma_z)\phi$
- Experimente mit gefangenen Ionen und bichromatischen Lichtquellen:

$$\mathcal{H}_I = \alpha\sigma_x p + \beta\sigma_z$$

- Was kann als Simulator dienen?
  - Rydberg-Atome, Ionen, Photonen....
  - **ultrakalte Gase**
- Was kann simuliert werden?
  - Anwendung in allen Bereichen der Physik
  - Hubbard-Modell, Spin-Modelle, Quantenphasenübergänge, Frustrierte Systeme, Supraleiter, BEC-BCS-Crossover, fraktionaler Quanten-Hall-Effekt ...
  - exotisch: Ausdehnung des Universums nach dem Urknall mit 2-komponentigem BEC (Fischer, Schützold, 2004)



- Quantensimulatoren nützlich wenn
  - Problem über klassische Computer nicht zugänglich
  - System experimentell nicht zugänglich
- Quantensimulatoren können physikalische Modelle testen



- Beispiel: Hochtemperatursupraleiter, Neutronenstern

# ULTRAKALTE GASE IN OPTISCHEN GITTERN ALS QUANTENSIMULATOREN

- Kontrolle vieler Teilchen gleichzeitig
- Kontrollierbar sind zum Beispiel...
  - Gittergeometrie und Dimensionalität
  - Tunnelprozesse
  - on-site Wechselwirkungen  $\rightarrow$  Feshbach-Resonanzen
  - Nächste-Nachbar-Wechselwirkungen
  - Drei-Teilchen-Wechselwirkungen
  - langreichweitige Wechselwirkungen
  - externe Potentiale
  - Rabi-Übergänge
  - Temperatur

$\implies$  sehr viele verschiedene  $\mathcal{H}$  modellierbar

## ① EINLEITUNG

## ② BEISPIELE

Eindimensionale Ising-Spin-Kette  
Der Hofstadter-Butterfly

## ③ FAZIT

## ④ ANHANG

# 1. BEISPIEL - ISING-MODELL MIT MAGNETFELD

- $\mathcal{H}_{\text{Ising}} = J \sum_i S_z^i S_z^{i+1} - h_z^i S_z^i - h_x^i S_x^i$
- 1D-Kette wechselwirkender Spins in Magnetfeld durch Bose-Gas aus Rubidium-Atomen simulieren
- Speziell: Phasenübergang zwischen para- und antiferromagnetischem Grundzustand nachstellen

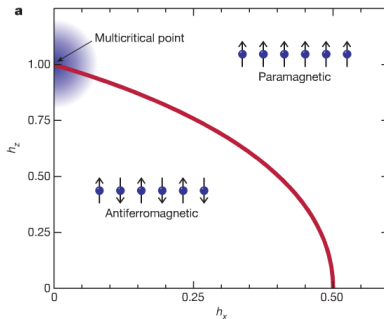


ABBILDUNG: Phasendiagramm des Spin-Modells

## ZIEL (SACHDEV *et al.* 2002)

$$\mathcal{H}_{\text{lsing}} \overset{?}{\longleftrightarrow} \mathcal{H}_{\text{Lat}}$$

- Ausgangspunkt: 1-dimensionaler Bose-Hubbard-Hamiltonian in einem verkippten Gitter:

$$\mathcal{H}_{\text{Lat}} = -t \sum_j \left( a_j^\dagger a_{j+1} + a_j a_{j+1}^\dagger \right) + \frac{U}{2} \sum_j n_j (n_j - 1) - E \sum_j j n_j$$

- $U$  = on-site-Teilchenwechselwirkung
- $E$  = Potentialunterschied zwischen nächster-Nachbar-Potentialmulden
- $t$  = Tunnelenergie

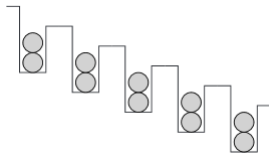


ABBILDUNG: Ausgangssituation: Mott-Isolator mit  $n_0 = 2$

- Experiment:  $E = 0 \dots U$ ,  $t \ll U$

Welche Zustände können auf experimentellen Zeitskalen erreicht werden?  
 → Zustände mit gleicher Energie, wenn  $E \approx U$ . (*Resonante Kopplung an Mott-Zustand*)

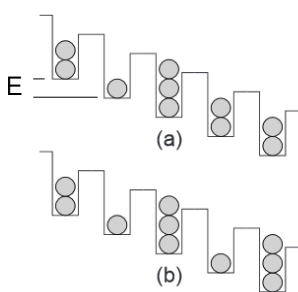


ABBILDUNG: Zwei resonant an Mott-Isolator gekoppelte Zustände (Dipole) ( $\propto t$ ).

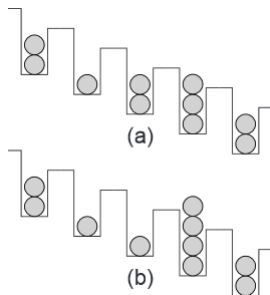


ABBILDUNG: Zustände, die nicht resonant an Mott-Isolator gekoppelt sind ( $\propto t^2/U$ ).

- Experiment:  $E = 0 \dots U$ ,  $t \ll U$

Welche Zustände können auf experimentellen Zeitskalen erreicht werden?  
 → Zustände mit gleicher Energie, wenn  $E \approx U$ . (*Resonante Kopplung an Mott-Zustand*)

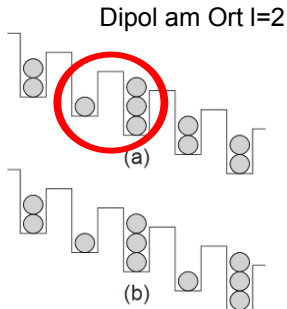


ABBILDUNG: Zwei resonant an Mott-Isolator gekoppelte Zustände (Dipole) ( $\propto t$ ).

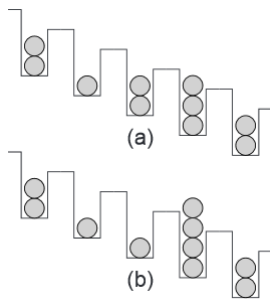


ABBILDUNG: Zustände, die nicht resonant an Mott-Isolator gekoppelt sind ( $\propto t^2/U$ ).

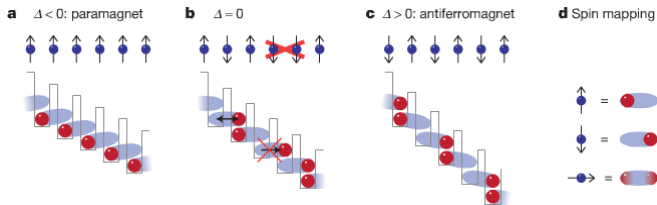


ABBILDUNG: Überblick

sinnvolle Definitionen:

- Dipol-Vakuum:  $|0\rangle = |Mn_0\rangle$
- Dipol-Erzeuger:  $d_l^\dagger |0\rangle = \frac{1}{\sqrt{n_0(n_0+1)}} b_l b_{l+1}^\dagger |Mn_0\rangle$
- Nebenbedingungen:  $d_l^\dagger d_l \leq 1$  und  $d_l^\dagger d_l d_{l+1}^\dagger d_{l+1} = 0$

Dipol-Hamiltonian:

$$\mathcal{H}_d = -t\sqrt{n_0(n_0+1)} \sum_l (d_l + d_l^\dagger) + (U - E) \sum_l d_l^\dagger d_l$$



Zusammenhang zur Spinkette:

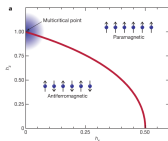
- Dipol an Platz  $l \equiv$  Down-Spin  $S_l^z$
- kein Dipol an Platz  $l \equiv$  Up-Spin  $S_l^z$

$$\rightarrow S_z^j = \frac{1}{2} - d_j^\dagger d_j \quad \text{und} \quad S_x^j = \frac{1}{2}(d_j^\dagger + d_j)$$

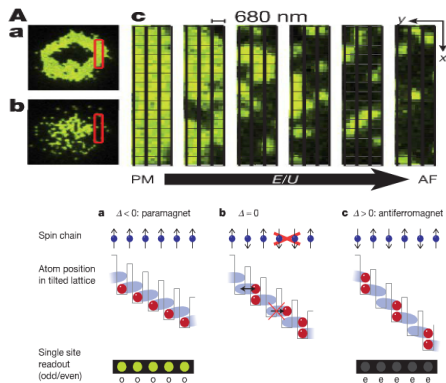
Nebenbedingung implementieren:

$$\begin{aligned} \mathcal{H}_{\text{Ising}} &= \mathcal{H}_d + J d_l^\dagger d_l d_{l+1}^\dagger d_{l+1} \\ &= \mathcal{H}_d + J(S_z^{j+1} - \frac{1}{2})(S_z^j - \frac{1}{2}) \\ \mathcal{H}_{\text{Ising}} &= \sum_j (J S_z^j S_z^{j+1} - 2^{\frac{3}{2}} t S_x^j - (J - (E - U)) S_z^j) \\ &= J \sum_j (S_z^j S_z^{j+1} - h_x S_x^j - h_z S_z^j) \end{aligned}$$

Terme aus Nebenbedingung



# DAS EXPERIMENT (SIMON *et al.* 2011)



- unabhängige Ketten in x-Richtung
- Magnetischer Potentialgradient zur Verkippung des Gitters
- $E = 0,7U \dots 1,2U$
- *in situ*-Messung  $\rightarrow$  Quanten-Gas-Mikroskop
  - 1 Atom  $\equiv$  hell
  - 0 Atome oder 2 Atome  $\equiv$  dunkel

## 2. BEISPIEL - KÜNSTLICHE MAGNETFELDER

### AUSGANGSFRAGE

Kann man mit ultrakalten Atomen geladenen Vielteilchen-Systeme simulieren?

- interessant z.B. für Elektronen in einem äußeren Magnetfeld  
→ Quanten-Hall-Effekt
- speziell: Hofstadter-Butterfly (Jaksch, Zoller, 2003)
  - Elektronen im tight-binding-Modell im homogenen Magnetfeld
  - quadratisches 2 dimensionales Gitter

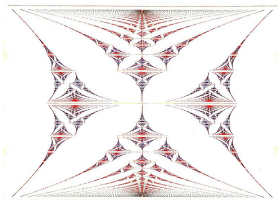


ABBILDUNG: Hofstadter-Butterfly

# ZIEL

$$\mathcal{H}_B \stackrel{?}{\longleftrightarrow} \mathcal{H}_{\text{Lat}}$$

- Bloch-Energie:  $W(\vec{k}) = -2t(\cos(k_x a) + \cos(k_y a))$
- Peierls-Substitution:  $\hbar\vec{k} \rightarrow \vec{p} - \frac{e}{c\hbar}\vec{A}$  mit  $\vec{A} = (By, 0, 0)$
- In zweiter Quantisierung:  
$$\mathcal{H}_B = -t \sum_{m,n} (e^{2\pi i \alpha m} a_{n+1,m}^\dagger a_{n,m} + a_{n,m}^\dagger a_{n,m+1} + h.c.)$$
- $\alpha = \frac{a^2 e B}{2\pi \hbar}$  Fluss durch die Einheitszelle

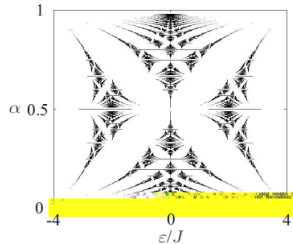
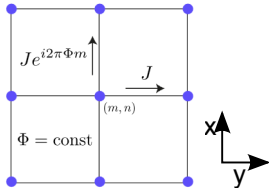


ABBILDUNG: Das Hofstadter-Modell

- Zwei-Niveau-Atome, Grundzustand  $g$ , angeregter Zustand  $e$
- „state-dependent lattice “
  - magische Wellenlängen in  $y$ -Richtung
  - antimagische Wellenlänge in  $x$ -Richtung

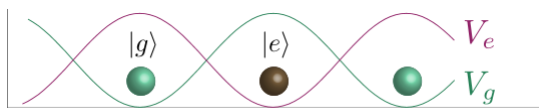


ABBILDUNG: state-dependent lattice

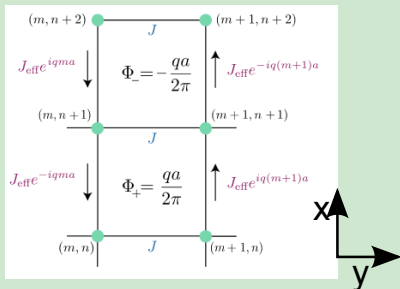
- „normales “ Tunneln in  $y$ -Richtung
- Laser-induziertes Tunneln in  $x$ -Richtung
- Resonanter Laser:  $\Omega e^{i\vec{k}\vec{r}}$
- Hopping-Matrix-Element:  
 $g, \vec{r}^{(g)} = (2n, m) \rightarrow e, \vec{r}^{(e)} = \vec{r}^{(g)} + \vec{b} = (2n + 1, m)$ :

$$J = \frac{1}{2} \Omega e^{i\vec{k}\vec{r}^{(g)}} \int w^{(e)}(\vec{r} - \vec{b})^* w^{(g)}(\vec{r}) e^{i\vec{k}\vec{r}} d^2 r$$

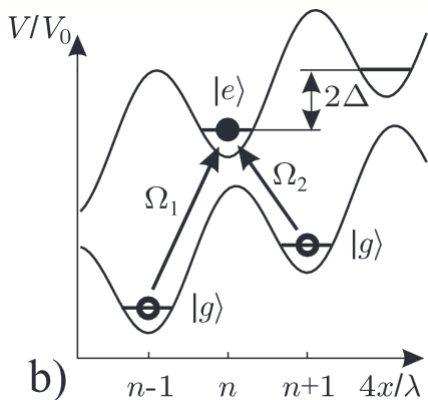
- Für Laser in yz-Ebene:  $J = J_{\text{eff}} e^{2\pi i \alpha m}$  mit  $\alpha = \frac{k_y a}{2\pi}$

## BEISPIEL

- Betrachte untere Einheitszelle:  $\phi = 0 + k_y(m+1)a + 0 - k_y m a = k_y a$
- Betrachte obere Einheitszelle:  
 $\phi = 0 - k_y(m+1)a + 0 + k_y m a = -k_y a$
- alternierendes Magnetfeld
- ⚡ (zu Hoffstadter-Modell)



- Ausweg: Übergänge  $2n \leftrightarrow 2n + 1$  und  $2n - 1 \leftrightarrow 2n$  unabhängig machen
- linearer Potentialgradient: Benachbarte Potentialmulden mit Energieunterschied  $\Delta$



- $\Omega_2$  induziert Übergang  $e \leftrightarrow g$   
Detuning:  $-\Delta$
- $\Omega_1$  induziert Übergang  $g \leftrightarrow e$   
Detuning:  $+\Delta$
- $\Omega_{1/2} = \Omega e^{\pm ik_y y}$
- Resultat: Das „-“ vom Übergang  $e \rightarrow g$  und das „-“ vom Laser  $\propto e^{-ik_y y}$  kompensieren sich

ABBILDUNG: Neue Potentiallandschaft

- Vernachlässige alle Wechselwirkungsterme
- $J_{\text{eff}} = J_y = J$

$$\mathcal{H}_{\text{Lat}} = J \sum_{m,n} \left( e^{2\pi i \alpha m} a_{n+1,m}^\dagger a_{n,m} + a_{n,m}^\dagger a_{n,m+1} + h.c. \right)$$

- $\alpha = \frac{k_y a}{2\pi}$  variierbar über
  - Gitterlänge  $a$
  - Winkel von  $\vec{k}$  relativ zur  $z$ -Achse
  - **einen Bereich von  $B_{\text{eff}} = 0, \dots, 10^4$  T!**
- einfache Erweiterung, z.B. zusätzliche E-Felder
- experimentelle Realisierung: Aidelsburger *et al.* 2013



- Magnetfeld  $B$  bricht Zeitumkehrinvarianz
- Ursprüngliche Konfiguration bricht diese Symmetrie nicht:
  - Laser propagiert in andere Richtung:  $e^{i\vec{k}\vec{r}} \rightarrow e^{-i\vec{k}\vec{r}}$
  - Translation in x-Richtung eine Gitterkonstante

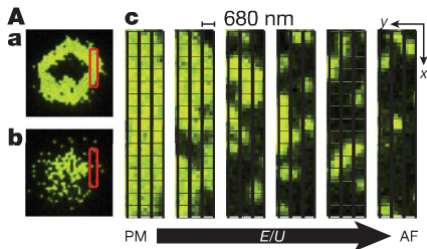
→ ursprüngliches System
- Deshalb: Zusätzlicher Term benötigt um Translationssymmetrie zu brechen

- Quantengase zur Simulation anderer Systeme sehr gut geeignet
- nächste Etappe: über proof-of-principle-Experimente hinausgehen
- teilweise schon erreicht
  - Beispiel: I.Bloch *et al.* 2011

Danke für die Aufmerksamkeit!

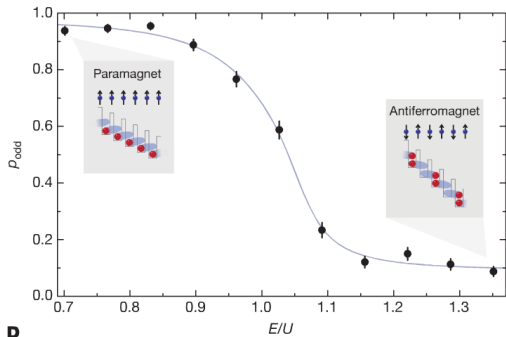
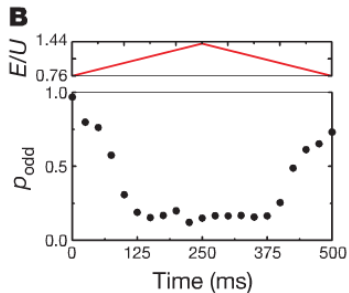
- I. M. Georgescu, S. Ashab, and F. Nori, Quantum Simulation, <http://arxiv.org/abs/1308.6253>
- I. Buluta, F. Nori, Quantum Simulators, *Science*, 326 (2009)
- I. Bloch, J. Dalibard, S. Nascimbène, Quantum simulation with ultracold quantum gases, *Nature Physics*, 8 (2012)
- J. Cirac, P. Zoller, Goals and opportunities in quantum simulation
- M. Lewenstein *et al.*, Ultracold atomic gases in optical lattices: mimicking condensed matter physics and beyond, <http://arxiv.org/abs/cond-mat/0606771>
- S. Sachdev, K. Sengupta, S.M. Girvin, Mott insulators in strong electric fields, <http://arxiv.org/abs/cond-mat/0205169>
- J. Simon *et al.*, Quantum simulation of antiferromagnetic spin chains in an optical lattice, *Nature*, 472 (2011)
- D. Jaksch, P. Zoller, Creation of effective magnetic fields in optical lattices: The Hofstadter butterfly for cold neutral atoms, <http://arxiv.org/pdf/quant-ph/0304038.pdf>
- N. Goldman *et al.*, Review: Light-induced gauge fields for ultracold atoms, <http://homepages.ulb.ac.be/goldman/>
- J. Dalibard *et al.*, Colloquium: Artificial gauge potentials for neutral atoms, <http://arxiv.org/pdf/1008.5378.pdf>

# DAS EXPERIMENT (SIMON *et al.* 2011)



- 2D-Mott-Isolator aus  $^{87}\text{Rb}$ -Atomen
- Gitterplatzabstand 680 nm, Potentialtiefe  $35E_r$
- Gitter verkippen:  $0,7U$  (magn. Feldgradienten)

- Potentialtiefe entlang der Kette:  $14E_r$
- Potentialtiefe transversal zur Kette:  $45E_r \rightarrow$  unabhängige Ketten
- lineare Steigerung der Gradientenstärke bis  $1,2 U$  innerhalb von 250 ms
- *in situ*-Messung möglich  $\rightarrow$  Quanten-Gas-Mikroskop
  - 1 Atom  $\equiv$  hell
  - 0 Atome oder 2 Atome  $\equiv$  dunkel



Zusammenhang zwischen  $\langle S_z^i \rangle$  und Wahrscheinlichkeit, eine ungerade Anzahl Atome zu finden:

$$\overline{\langle S_z^i \rangle} = \frac{1}{2} P_{\text{odd}} \quad (1)$$

- Hamiltonoperator des Lasers:

$$\begin{aligned} \mathcal{H}_{\text{Las}} &= \sum_{m,n \text{ even}} \underbrace{J_{m,n}}_{\int \dots e^{+iky_y} \dots} \cdots + \sum_{m,n \text{ odd}} \underbrace{J_{m,n}}_{\int \dots (e^{-iky_y})^* \dots} \cdots + \mathcal{H}_d \\ &= \sum_{m,n} \left( J_{\text{eff}} e^{2\pi i \alpha m} a_{n+1,m}^\dagger a_{n,m} + h.c. \right) + \mathcal{H}_d \end{aligned}$$

- $\mathcal{H}_d$  beschreibt Detuning:

$$\mathcal{H}_d = -\Delta \sum_{n,m} n a_{n,m}^\dagger a_{n,m}$$

- $\mathcal{H}_{\text{acc}} = \Delta \sum_{n,m} n a_{n,m}^\dagger a_{n,m}$

- Vernachlässige alle Wechselwirkungsterme,  $J_{\text{eff}} = J_y = J$ :

$$\begin{aligned} \mathcal{H}_{\text{Lat}} &= \mathcal{H}_{\text{Las}} + \mathcal{H}_{\text{acc}} + \sum_{n,m} J a_{n,m}^\dagger a_{n,m+1} + h.c. \\ &= J \sum_{m,n} \left( e^{2\pi i \alpha m} a_{n+1,m}^\dagger a_{n,m} + a_{n,m}^\dagger a_{n,m+1} + h.c. \right) \end{aligned}$$